

- ing respiratory virus infection of mice // J. Virol. — 2001. — Vol. 75, N 11. — P. 5416—5420.
20. Novak E. J., Liu A. W., Nepom G. T., Kwok W. W. MHC class II tetramers identify peptide-specific human CD4(+) T cells proliferating in response to influenza A antigen // J. Clin. Invest. — 1999. — Vol. 104, N 12. — P. 63—67.
 21. Prusin C., Metcalfe D. D. Detection of intracytoplasmic cytokine using flow cytometry and directly conjugated anti-cytokine antibodies // J. Immunol. Meth. — 1995. — Vol. 188, N 1. — P. 117—128.
 22. Puaux A. L., Campanaud J., Salles A. et al. A very rapid and simple assay based on trogocytosis to detect and measure specific T and B cell reactivity by flow cytometry // Eur. J. Immunol. — 2006. — Vol. 36, N 3. — P. 779—788.
 23. Welsh R. M., Selin L. K., Szomolanyi-Tsuda E. Immunological memory to viral infections // Annu. Rev. Immunol. — 2004. — Vol. 22. — P. 711—743.

Поступила 13.05.10

© КОЛЛЕКТИВ АВТОРОВ, 2011
УДК 615.281.8.03:578.832.1].015.44

**B. V. Зарубаев¹, С. В. Беляевская¹, А. К. Сироткин¹, П. М. Анфимов¹, В. Е. Небольсин², О. И. Киселев¹,
Д. В. Рейхарт³**

Влияние Ингавирина® *in vitro* и *in vivo* на ультраструктуру и инфекционность вируса гриппа

¹НИИ гриппа СЗО РАМН, Санкт-Петербург; ²ОАО "Валента Фарм", Москва;

³Первый МГМУ им. И. М. Сеченова

Целью настоящего исследования было изучение воздействия Ингавирина® на структуру и свойства вирионов гриппа, формирующихся в его присутствии. С помощью титрования на культуре клеток и электронно-микроскопического анализа были проанализированы инфекционная активность вируса и морфология вирионов соответственно. Показано, что применение Ингавирина® достоверно снижает долю полноценных вирионов, увеличивая содержание филаментозных и гигантских частиц. Дефектов поверхностных гликопротеидов при этом не отмечалось. Эффект препарата не зависит от выбранной модели вирусной инфекции и реализуется сходным образом как в культуре клеток человека, так и в организме лабораторных животных. Инфекционная активность вируса в культуре клеток MDCK, A549 и в легких мышей в присутствии Ингавирина® снижалась на 1—2 порядка в зависимости от модели. Полученные данные свидетельствуют о способности Ингавирина нарушать процессы вирусного морфогенеза, что приводит к снижению инфекционности вирусного потомства.

Ключевые слова: грипп, морфология, противовирусные средства, Ингавирин, электронная микроскопия

In vitro and in vivo effects of Ingavirin® on the ultrastructure and infectivity of influenza virus

**V. V. Zarubayev¹, S. V. Belyaevskaya¹, A. K. Sirotkin¹, P. M. Anfimov¹, V. E. Nebolsin², O. I. Kiselev¹,
D. V. Reikhart³**

¹Research Institute of Influenza, North-Western Branch, Russian Academy of Medical Sciences, Saint Petersburg;

²OAO Valenta Pharm, Moscow; ³I. M. Sechenov First Moscow State Medical University

The aim of this investigation was to study the effect of ingavirin® on the structure and properties of influenza viruses forming in its presence. The infectious activity of the virus and the morphology of the virions were analyzed by titration in cell culture and electron microscopy, respectively. The use of ingavirin® was shown to reduce the proportion of morphologically intact virions and to increase that of filamentous and giant particles. No defects of surface glycoproteins were observed. The effect of the drug did not depend on the chosen model of virus replication and it was similarly shown in both cultured human cells and laboratory animals. In MDCK and A549 cells and in the mouse lungs, viral infectious activity was decreased by 1-2 orders of magnitude in relation to a model. The findings suggest that Ingavirin® is able to impair the processes of viral morphogenesis, which in turn leads to a reduction in the infectivity of progeny virions.

Key words: influenza, morphology, antivirals, Ingavirin, electron microscopy

Введение

Вирус гриппа принадлежит к семейству Orthomyxoviridae. Вирионы гриппа представляют собой сферические или нитевидные частицы диаметром 80—100 нм, покрытые липидной оболочкой с интегрированными молекулами поверхностных гликопротеидов (HA и NA) и ионного канала M2, ассоциированной со слоем мембранныго белка M1. Сердцевина вирионов представлена 8 сегментами однонитевой РНК отрицательной полярности

(вРНК), ассоциированной с тремя белками полимеразного комплекса (PA, PB1, PB2) и молекулами нуклеопротеина (NP).

После проникновения в клетку и "раздевания" вириона сегменты генома попадают в цитоплазму, где вирусная полимераза осуществляет транскрипцию и репликацию вРНК. В результате образуются молекулы вирусспецифической матричной РНК (мРНК) и комплементарной РНК (кРНК) соответственно. На матрице кРНК впоследствии синтезируется цепь вРНК, входящая затем в состав вирио-

Контактная информация:

Зарубаев Владимир Викторович, канд. биол. наук, зав. лаб.; e-mail: zarubaev@influence.spb.ru

Биологична *Нітратність* в умовах кислотності розчину залежить від концентрації іонів H^+ та NO_3^- . Важливим фактором є концентрація іонів Mg^{2+} , які зменшують конкуренцію за місце з'єднання з іонами NO_3^- . Умови, коли Mg^{2+} виступає в якості конкурента за місце з'єднання з іонами NO_3^- , викликають зменшення концентрації NO_3^- в розчині.

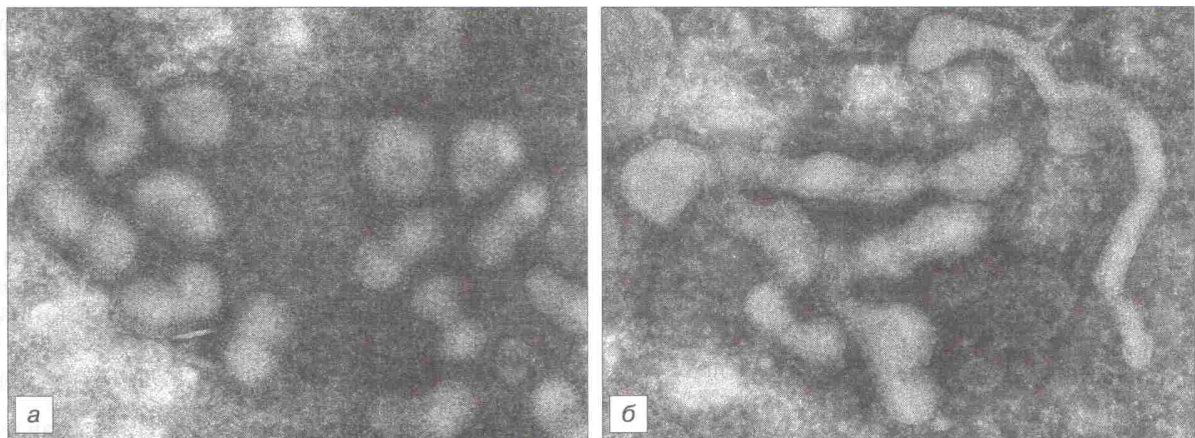
Ncjejyembe mpenaparti ni mtauego Bbrojini ni
 BOTHINI tephopatiko ngees kejyjyohpin 30-31 B 06-
 eme 0,2 Mt. Uloabi tephapatior cocrabanji: **Nhrabani**
 phn® — 30 Mt ha 1 kr maccbi knibothoro b ctyrn, Ta-
 mifjio® — 25 Mt/krt. Tephapatiri Bbrojini no jeqe-
 ho-mpofunjaktnheekon cyme: 3a 1 jo 3apakehna,
 hepede 24 n 48 q moccie 3apakehna. B kahectre mtauego
 kohthopatjihon pbytne knibothpix Bbrojini ffinisnojo-
 tneckeink focepatjihon gyfep. Knibothpix nhfinupdo-
 bajni nbgycoum lpmma nthpahazatjihou noj jerkm-
 siphphim hapko3om B joo3e 10 LD³⁰. B rakkjyho rphy-
 ny my omtira 6pajin no 10 minuen.

Для спакешия кинотехникоі багато вченоїми, підгрупами і по-
могати зробити такі міріння, які відповідають вимогам
запису та обробки зображення. Це вимірювання мають
бути здійснені в умовах, які відповідають реальним
условиям зберігання та обробки зображення. Це вимірювання
должно відповісти вимогам зберігання та обробки зображення.
Це вимірювання має бути здійснено в умовах, які відповідають
реальним умовам зберігання та обробки зображення.

Автомобіль. бетарів декомпозитних матеріалів (камні) макою 16—20 і товщини 33-35 см. Пам'яті 80° (Дендропарківська область) і сороківін зачаткової панночі з етиламінівих пірамідальних структур. Японія бригади ГІНН підміна PAMH. Додатковий критичний показник дієвості оптимізації виробництва кризису виробництва. Діяльність заснована на використанні кризових методів кризисного управління. У цій зоні виробництва використовують кризові методи управління.

*Buycu u kamerku, B padoote qmtojibsoobañ rnbpc
ipnma A/Caliiforniia/07/09 (HINI)v, tipejibapnrejibuo
jaamnpoobañin k jerorohon tkañin mriuenñ. Bnpyc
tacncipobrariñ B jizitahonchon tjojocin 10-12-JHEB-
hixi kypnhpix amgnobor b tehehne 48 a tlpn 36°C n
nchotjibaoðarñiñ tja spaxkhenñ knbotphix nññ kñteto-
hon kyjatyþpi.*

MATEPNAJPI N METOJBI



Вирионы гриппа A/California/07/09(H1N1)v в концентрате бронхолегочного смыча мыши на 2-е сутки после инфицирования в контроле (а) и в присутствии Ингавирин® (б).

Ув. 50 000.

на JEM-100S (JEOL, Япония) при инструментальном увеличении в 5000–50 000 раз. Фотосъемку производили на пленку ФТ-41МД.

Для количественной оценки влияния препаратов на морфологию вирусной популяции в легких проводили морфологический анализ вирионов в БЛС животных контрольных и опытных групп. Для этого на препаратах подсчитывали число вирусных частиц каждой из четырех морфологических групп — круглых, бобовидных, филаментозных и гигантских. Долю каждой из групп выражали в процентах от общего числа вирионов. В каждой группе опыта просчитывали 15–20 полей зрения, содержащих вместе 200–250 вирионов.

Титрование вируса. Оценку инфекционной активности вируса гриппа проводили путем титрования на клетках MDCK. Клетки промывали 2 раза нейтральным фосфатным буфером, фиксировали 10 мин при 4°C 80% ацетоном, промывали 5 мин дистиллированной водой и высушивали на воздухе.

Первичные типоспецифические антитела против вируса гриппа (ООО ППДП, Санкт-Петербург) растворяли в фосфатном буфере с добавлением 5% обезжиренного сухого молока (для блокирования сайтов неспецифического связывания антител с белковыми детерминантами) до концентрации 5 мкг/мл и инкубировали с фиксированными клетками в течение 1 ч при 37°C (0,1 мл на лунку). Клетки промывали 3 раза фосфатным буфером по 0,1 мл на лунку и инкубировали с раствором антимышного иммуноглобулина, меченного пероксидазой ("Sigma", Cat.# A2304) в разведении 1:10 000 (0,1 мл на лунку) в течение 1 ч при 37°C. Несвязавшиеся антитела отмывали 3 раза фосфатным буфером по 0,1 мл на лунку и проводили цветную реакцию с раствором 3,3,5,5-тетраметилбензидина с добавлением 0,03% перекиси водорода в ацетатном буфере pH 5,0 (0,1 мл на лунку). Реакцию останавливали 2 N серной кислотой (0,1 мл на лунку) и измеряли оптическую плотность в ячейках при длине волн 450 нм на микропланшетном ридере Victor 1420 ("Wallac", Финляндия). Реакцию считали положительной, если оптическая плотность в ячейках превышала фоновые значения для интактных клеток вдвое (такую дозу вируса принимали за 50% экспериментальную инфекционную дозу — ЭИД₅₀) и

больше. За титр вируса принимали величину, противоположную десятичному логарифму наибольшего разведения вируса, способного вызвать положительную реакцию в лунке, и выражали в логарифмах 50% ЭИД вируса (lg ЭИД₅₀).

О вирусингибирующем действии соединений судили по снижению титра вируса в присутствии препаратов по сравнению с соответствующими контрольными лунками без препаратов.

Статистическая обработка результатов. При статистической обработке результатов использовали пакет программ Microsoft Excel. Достоверно значимыми считали отличия от контрольных значений при $p < 0,05$.

Результаты и обсуждение

Как было показано с помощью электронно-микроскопического анализа концентрата БЛС, в легких контрольных животных обнаруживались многочисленные вирионы гриппа характерной округлой или бобовидной формы с хорошо различимой правильной каемкой поверхностных гликопротеидов (см. рисунок, а). Вирионы гриппа в БЛС животных, получавших Ингавирин®, несколько отличались от контрольных по морфологии. В составе вирусной популяции преобладали частицы неправильной или вытянутой формы. Каемка поверхностных гликопротеидов не была нарушена (см. рисунок, б).

Таблица 1

Влияние химиопрепаратов на морфологию вирионов гриппа A/California/07/09(H1N1)v в легких белых мышей

Препарат	Частицы, доля в %			
	круглые	бобовидные	филаментозные	гигантские
Контроль вируса	62,0 ± 3,9	28,7 ± 3,7	7,2 ± 2,1	2,1 ± 1,1
Ингавирин, 30 мг/кг	20,9 ± 13,9*	23,8 ± 5,1	31,0 ± 7,0*	24,3 ± 9,0
Оセルтамивир, 25 мг/кг	51,0 ± 5,5	29,9 ± 5,3	13,6 ± 3,1	5,4 ± 2,2

П р и м е ч а н и е . Здесь и в табл. 2: * — отличия от контрольной группы достоверны при $p < 0,05$.

Целесообразна альтернатива А/Калифорния/07/09 (HINI), включивши в себя меры по ограничению экспортных операторов. Ограничение должно быть направлено на то, чтобы избежать опасности распространения опасных вирусов и бактерий, а также для защиты здоровья граждан. Важно отметить, что ограничение не должно быть направлено на ограничение свободы передвижения граждан, а должно быть направлено на то, чтобы избежать опасности распространения опасных вирусов и бактерий, а также для защиты здоровья граждан.

Therapeutic, $10 \text{ MKr}/\text{m}^2$		Chemical therapy with paclitaxel (CDDP ₄₀)		Therapeutic, radiotherapy with cisplatin	
10 ⁻¹	10 ⁻²	10 ⁻³	10 ⁻⁴	10 ⁻⁵	10 ⁻⁶
282 ± 14	191 ± 14	111 ± 5	109 ± 3	1,8	1,8
290 ± 8	236 ± 22	117 ± 2	109 ± 3	2,0	2,0
460 ± 44	323 ± 40	116 ± 5	106 ± 2	2,3	2,3
569 ± 42	386 ± 45	220 ± 8	112 ± 3	3,0	3,0
227 ± 12	178 ± 8	116 ± 3	104 ± 2	1,3	1,3
Ocetiparmanibpa kap600knciatr, 0,1 mkr/m ²					
Kotipobrs nipyca					
Ntharabninp, 0,1 mkr/m ²					
Ntharabninp, 1 mkr/m ²					
Thipnapt, ronuehetpanning					

Нижеуказанные артикулы и позы в таблице А/Калифорния 07/09 (HIN) в соответствии с законодательством А549 РДНСССР и нормативной базой

Фактори, рингоруне ха оғомнораше бинди-
хоб толи тун нони мопфогорин, яо кона ае ныде-
хи. Еле же мепхие наебети о бенхин бозжектини,
хатпаритехи инбордукум ки симеҳено мопфоги-
лун биндыгчон тоңызжынын. Набечто, ято бердиги
дори б мопфореҳеे биндохор тұннана тіптер Герок
М1 [9, 11]. Тар, нокрасао, ято бердиги порт б он-
де же еннен қағандақон түркістан моп-
фогорин биндохор тіптер амногорнан тұннана моп-
жекеңнән 95 н 204 гелжа М1 [5]. Байдын меккејорба-

The cytotoxicity of different concentrations of *C. elegans* against *Bacillus cereus* was determined by counting the number of colonies after 24 h of incubation at 37 °C. The results are shown in Table 1. The inhibition of *Bacillus cereus* growth by *C. elegans* was dose-dependent. The inhibition rate increased with increasing concentration of *C. elegans*. At a concentration of 10⁶ spores/ml, the inhibition rate was approximately 50%. At a concentration of 10⁷ spores/ml, the inhibition rate was approximately 80%. At a concentration of 10⁸ spores/ml, the inhibition rate was approximately 90%. At a concentration of 10⁹ spores/ml, the inhibition rate was approximately 95%. At a concentration of 10¹⁰ spores/ml, the inhibition rate was approximately 98%. At a concentration of 10¹¹ spores/ml, the inhibition rate was approximately 99%. At a concentration of 10¹² spores/ml, the inhibition rate was approximately 100%.

Лакм опасом, аа очораннн тијектархийни
Жаһпих тоқа3аа чоңодоңыр Нұтрабапніңа[®] 3ме-
хат Мопғолордың 3иңгычын 3онғылымнан кеңе-
желдіктердің мемлекеттік мемлекеттік мемлекеттік
жыныс жүргізу үшін 3иңгычынан кеңе-
желдіктердің мемлекеттік мемлекеттік мемлекеттік
жыныс жүргізу үшін 3иңгычынан кеңе-
желдіктердің мемлекеттік мемлекеттік мемлекеттік
жыныс жүргізу үшін 3иңгычынан кеңе-
желдіктердің мемлекеттік мемлекеттік мемлекеттік
жыныс жүргізу үшін 3иңгычынан кеңе-
желдіктердің мемлекеттік мемлекеттік мемлекеттік
жыныс жүргізу үшін 3иңгычынан кеңе-

Любые заявки на участие в конкурсе должны быть поданы до 15 марта 2019 года.

Nbrechto, tlo fngiametho3ahie nipyghie acin-
tak, gyuyan hamhoro 50jipue no pamempan, hem kpyr-
tiae, couepkxat, kar n kpytiae hacntuji, tojirko qjin
haqop cemethor nipyghoro rehoma [8, 13]. B to ke
jorahn mi he g6appykxun happyhing kipytkypti
borpexhochtix lnikotipotrenjor nipyhoob, qfop-
mopbarhix b mngyciternin *Dharrapnha*[®], kar 3to
nemjo meto, haqimped, tlp nccjeljorahn Mexa-
hnsma nqotnborpnitio3ohn aktinroctn lntipokcni-
ppi nipyhoob. Mokho nppetmoxiarab, tlo tlpn aticope-
t3ahie pacntuji to qparhehno nopyexhochtix tipkyt-
mu nipyhoob ha kjetohyho nopyexhochtix qniameh-
t03ahie pacntuji to qparhehno c kpytptimn gyuyt-3a-
qjirky ojihoro nipyghoro rehoma, tlo jorjikho lipo-
kjetky ojihoro nipyghoro rehoma, tlo jorjikho lipo-

Tlpenaper	Kohntopbs	Rnpyca	Rkpyrable	Goobanunhabe	fnniamethosahbe	Inrathcne
Mhrabpinh, 10 Mkr/m ²	43,7+3,0*	11,0 ± 1,7*	40,8 ± 2,1*	4,5 ± 1,1	65,5 ± 5,2	20,6 ± 4,1
Bnypca	63,0 ± 2,8	18,1 ± 2,0	16,2 ± 2,6	2,7+0,6	2,1 ± 1,2	11,8 ± 2,7
Mhrabpinh, Ocenbrann, Bnpba Kpd- Gokcnitla,	43,7+3,0*	11,0 ± 1,7*	40,8 ± 2,1*	4,5 ± 1,1	65,5 ± 5,2	20,6 ± 4,1
Nhtrabin, Koijnectrbrehon Ouehkn Rnynhng Mhrab-	Uia nayehnina cneulfmfnhochin onmcachhoro efe- fekta Nhtrabpinha® B orhomenin kretor tolo nini nhoro reheea bplio npprejehe ahariorinhe nccie- jorahne b kyjitype kretor qeljoreka A549. Pe3yjib- tarii ahalim3a Rnpychon moyjirunn inprjeahbi b taraj. 2.	Takm o6pa3om, tokasa3o, qto ipnmehene Nh- -rabinphna® Jocobrepho chnkaret joiroj nojionehehpx Rnphobes qpejan Rnpychoj nojomecrba, ybejninqnbraa coopepkahne fnniamethosahbe n lnrahtcknx acchni.	Uia nayehnina cneulfmfnhochin onmcachhoro efe- fekta Nhtrabpinha® B orhomenin kretor tolo nini nhoro reheea bplio npprejehe ahariorinhe nccie- jorahne b kyjitype kretor qeljoreka A549. Pe3yjib- tarii ahalim3a Rnpychon moyjirunn inprjeahbi b taraj. 2.	Uia nayehnina cneulfmfnhochin onmcachhoro efe- fekta Nhtrabpinha® B orhomenin kretor tolo nini nhoro reheea bplio npprejehe ahariorinhe nccie- jorahne b kyjitype kretor qeljoreka A549. Pe3yjib- tarii ahalim3a Rnpychon moyjirunn inprjeahbi b taraj. 2.	Uia nayehnina cneulfmfnhochin onmcachhoro efe- fekta Nhtrabpinha® B orhomenin kretor tolo nini nhoro reheea bplio npprejehe ahariorinhe nccie- jorahne b kyjitype kretor qeljoreka A549. Pe3yjib- tarii ahalim3a Rnpychon moyjirunn inprjeahbi b taraj. 2.	Uia nayehnina cneulfmfnhochin onmcachhoro efe- fekta Nhtrabpinha® B orhomenin kretor tolo nini nhoro reheea bplio npprejehe ahariorinhe nccie- jorahne b kyjitype kretor qeljoreka A549. Pe3yjib- tarii ahalim3a Rnpychon moyjirunn inprjeahbi b taraj. 2.

Burghez ximnogpedu parator ha wofqojoluino sindyohor tpmna A/California/07/09(H1N1)v B kylajtyde kjerotor A549

нии [7] было выяснено, что замена на аланин положительно заряженных аминокислот белка M1, локализованных в участке 101-RKLKR-105, в особенности лизина в положении 102, приводит к резкому изменению морфологии вирионов в сторону нитевидных частиц, что свидетельствует о важной роли этих аминокислот в процессах вирусной сборки и почкования. Предполагают [16], что связывание с цитоплазматическими доменами вирусных гемагглютинина и нейраминидазы позволяет белку M1 ассоциироваться с мембранами в области "липидных рафтов", что меняет конформацию белка M1, способствуя его полимеризации в районе почкования, что в свою очередь инициирует само почкование вирионов, а при интенсивной полимеризации белка M1 способствует формированию нитевидных вирусных частиц.

Кроме того, известно, что цитоплазматический домен белка M2 наряду с белком M1 также играет определенную роль в формировании нитевидных вирионов, по-видимому, благодаря различной способности связывать холестерин, направленно изменяя тем самым свойства вирусной мембранны и стабилизируя филаментозную морфологию вируса [14, 15].

Помимо вирусных факторов, в формирование вирионов той или иной морфологии вносят вклад и менее изученные клеточные компоненты. Так, известно, что белки Rab11 (ГТФ-связывающий белок, участвующий в процессах эндоцитоза) и FIP3 (белок, играющий роль в сортировке мембран и регуляции динамики актина) необходимы для формирования филаментозных вирусных частиц. Rab11, кроме того, необходим для окончательного отщепления сферических вирусных частиц от поверхности клетки. Ингибиование его приводило к образованию большого числа нитевидных вирионов, неспособных отпочковаться от плазматической мембранны [6].

Возможно, прямое или косвенное взаимодействие Ингавирина® или индуцируемых им факторов с описанными вирусными и/или клеточными компонентами приводит к выявленному в нашем исследовании изменению морфологии вирусной популяции и снижению инфекционности вирусного потомства. Кроме того, не исключено также, что наряду с этим эффектом Ингавирин® препятствует нормальной упаковке вирусных РНП в вирионы, что в свою очередь приводит к увеличению доли неполноценных частиц и снижению суммарной инфекционной активности вируса. Дальнейшие исследования в этом направлении помогут более детально определить механизм противогриппозной активности этого препарата.

ЛИТЕРАТУРА

1. Зарубаев В. В., Гаршинина А. В., Калинина Н. А. и др. Протективная активность Ингавирина при экспериментальной летальной гриппозной пневмонии, вызванной пандемическим вирусом гриппа A (H1N1) у белых мышей // Антибиотики и химиотер. — 2010. — Т. 55, № 5—6. — С. 24—31.
2. Зарубаев В. В., Гаршинина А. В., Калинина Н. А. и др. Противовирусная активность Ингавирина при экспериментальной летальной гриппозной инфекции у белых мышей, вызванной вирусом гриппа B // Антибиотики и химиотер. — 2010. — Т. 55, № 3—4. — С. 8—11.
3. Логинова С. Я., Борисевич С. В., Максимов В. А. и др. Изучение терапевтической эффективности нового отечественного препарата Ингавирин в отношении возбудителя гриппа A (H3N2) // Антибиотики и химиотер. — 2008. — Т. 53, № 11—12. — С. 27—30.
4. Логинова С. Я., Борисевич С. В., Лыков М. В. Изучение эффективности Ингавирина® *in vitro* в отношении "мексиканского" пандемического подтипа H1N1 вируса гриппа A, штаммы A/California/04/2009 и A/California/07/2009 // Антибиотики и химиотер. — 2009. — № 3—4. — С. 15—17.
5. Bourmakina S. V., Garcia-Sastre A. Reverse genetics studies on the filamentous morphology of influenza A virus // J. Gen. Virol. — 2003. — Vol. 84, N 3. — P. 517—527.
6. Bruce E. A., Digard P., Stuart A. D. The Rab11 pathway is required for influenza A virus budding and filament formation // J. Virol. — 2010. — Vol. 84, N 12. — P. 5848—5859.
7. Burleigh L. M., Calder L. J., Skehel J. J., Steinhauer D. A. Influenza A viruses with mutations in the m1 helix six domain display a wide variety of morphological phenotypes // J. Virol. — 2005. — Vol. 79, N 2. — P. 1262—1270.
8. Calder L. J., Wasilewski S., Berriman J. A., Rosenthal P. B. Structural organization of a filamentous influenza A virus // Proc. Natl. Acad. Sci. USA. — 2010. — Vol. 107, N 23. — P. 10685—10690.
9. Chazal N., Gerlier D. Virus entry, assembly, budding, and membrane rafts // Microbiol. Mol. Biol. Rev. — 2003. — Vol. 67, N 2. — P. 226—237.
10. Colman P. M. A novel approach to antiviral therapy for influenza // J. Antimicrob. Chemother. — 1999. — Vol. 44 (suppl. B). — P. 17—22.
11. Leser G. P., Lamb R. A. Influenza virus assembly and budding in raft-derived microdomains: a quantitative analysis of the surface distribution of HA, NA and M2 proteins // Virology. — 2005. — Vol. 342, N 2. — P. 215—227.
12. Mancuso C. E., Gabay M. P., Steinke L. M., Vanosdol S. J. Peramivir: an intravenous neuraminidase inhibitor for the treatment of 2009 H1N1 influenza // Ann. Pharmacother. — 2010. — Vol. 44, N 7—8. — P. 1240—1249.
13. Noda T., Sagara H., Yen A. et al. Architecture of ribonucleoprotein complexes in influenza A virus particles // Nature. — 2006. — Vol. 439, N 7075. — P. 490—492.
14. Roberts P. C., Lamb R. A., Compans R. W. The M1 and M2 proteins of influenza A virus are important determinants in filamentous particle formation // Virology. — 1998. — Vol. 240, N 1. — P. 127—137.
15. Rossman J. S., Jing X., Leser G. P. et al. Influenza virus m2 ion channel protein is necessary for filamentous virion formation // J. Virol. — 2010. — Vol. 84, N 10. — P. 5078—5088.
16. Rossman J. S., Lamb R. A. Influenza virus assembly and budding // Virology. — 2011. — Vol. 411, N 2. — P. 229—236.
17. Scholtissek C., Quack G., Klenk H. D. et al. How to overcome resistance of influenza A viruses against adamantine derivatives // Antiviral Res. — 1998. — Vol. 37. — P. 83—95.
18. Yamada K., Ogawa H., Hara A. et al. Mechanism of the antiviral effect of hydroxytyrosol on influenza virus appears to involve morphological change of the virus // Antiviral Res. — 2009. — Vol. 83, N 1. — P. 35—44.

Поступила 06.05.11

РОССИЙСКАЯ
АКАДЕМИЯ
МЕДИЦИНСКИХ
НАУК

ВОПРОСЫ ВИРУСОЛОГИИ

PROBLEMS OF VIROLOGY

ДВУХМЕСЯЧНЫЙ НАУЧНО-ТЕОРЕТИЧЕСКИЙ ЖУРНАЛ

Основан в 1956 г.

том 56

5

СЕНТЯБРЬ–ОКТЯБРЬ

2011

РЕДАКЦИОННАЯ КОЛЛЕГИЯ

Главный редактор Д. К. ЛЬВОВ

И. Ф. БАРИНСКИЙ, Р. В. БЕЛОУСОВА, Г. А. ГАЛЕГОВ,
Ю. З. ГЕНДОН, В. А. ГОЛЬЦОВ, В. В. ГУНЕНКОВ, С. Г. ДРОЗДОВ,
Ф. И. ЕРШОВ, А. Д. ЗАБЕРЕЖНЫЙ (ответственный секретарь),
В. В. ЗВЕРЕВ, В. И. ЗЛОБИН, В. А. ЗУЕВ, Н. В. КАВЕРИН,
Ф. Л. КИСЕЛЕВ, С. М. КЛИМЕНКО, В. А. ЛАШКЕВИЧ
(зам. главного редактора), Г. Г. ОНИЩЕНКО,
В. В. ПОКРОВСКИЙ, Л. В. УРЫВАЕВ



МОСКВА
«ИЗДАТЕЛЬСТВО
“МЕДИЦИНА”»

